

1. 緒言 飽和粘土などの構造物が粘土地盤に負荷されるとき、載荷面中央下では軸対称条件に近似した異方圧密が生じると言われている。それゆえ、飽和粘土の異方圧密挙動を説明することができる応力・ひずみ・時間関係式があれば、逐次元圧密応答計算法に役立ちうると考えられる。

2. 飽和粘土の排水クリープ試験解析のための応力・ひずみ・時間関係式 <sup>1), 2), 5)</sup> ここでは、正規圧密飽和粘土の異方圧密を含めて、軸差応力一定のもとで排水を伴なう変形が時間依存的に継続する現象を排水クリープと総称することにする。このときの飽和粘土の挙動を説明するために、これまで筆者が実験的に求めてきた応力・ひずみ・時間関係式は以下の仮定に基づくものである。

$$(i) \text{時間に依存しないひずみと依存するひずみの重ね合わせ: } \varepsilon_{ij}^{(o)} = \varepsilon_{ij}^{(t)} + \varepsilon_{ij}^{(c)} \quad \dots \dots \dots \quad (1)$$

$$(ii) \text{圧密とダイレクタンシーの重ね合わせ: } dv = dv_c + dv_d \quad \dots \dots \dots \quad (2-a)$$

$$v_c = f_1(p'), \quad v_d = f_2(q/p') \quad (3), \quad dv = f'_1(p')dp' + f'_2(q/p')dq(p') \quad \dots \dots \dots \quad (2-b)$$

$$(iii) 新たなひずみ増分比と応力比の関係: dv_p/d\varepsilon_p = M_p - N_p(q/p') \quad \dots \dots \dots \quad (4)$$

(iv) Singh and Mitchell<sup>4)</sup>式を修正した時間依存項の表現:  $p$ 一定排水クリープ試験結果を

$$\varepsilon_{ij}^{(t)} = A_{ij} \exp(-\bar{\alpha}_{ij} \eta_k) t_o^{m_{ij}} (t^{1-m_{ij}} - t_o^{1-m_{ij}}) \quad \dots \dots \dots \quad (5)$$

と表現し、等方応力による体積クリープは二つでは一応無視するものとする。以上の仮定から得られる

$$v = \frac{c_c}{1+e_o} \log \frac{k}{k-\eta_k} + D_{kp} \eta_k + A_d \exp(-\bar{\alpha}_d \eta_k) t_o^{m_d} (t^{1-m_d} - t_o^{1-m_d}) \quad \dots \dots \dots \quad (6-a)$$

$$\varepsilon = \left[ \frac{D_{kp} M_p - \{ k D_{kp} + \lambda (1+e_o) \}}{(N_p - k N_p) N_p} + \frac{D_{kp}}{N_p} \right] \ln \frac{M_p}{M_p - k N_p} \eta_k + \frac{\lambda / (1+e_o)}{M_p - k N_p} \ln \frac{k}{k - \eta_k} + A_s \exp(-\bar{\alpha}_s \eta_k) t_o^{m_s} (t^{1-m_s} - t_o^{1-m_s}) \quad \dots \dots \dots \quad (6-b)$$

が飽和粘土の排水クリープ解析のための構成式である。

3. 異方圧密試験結果の解析 排水クリープ試験の場合、 $dq/dp' = k$  ( $k$ :定数) の条件、すなわち、  
 $dp'/p' = dN/(k - \eta)$   $\dots \dots \dots \quad (7)$

なる条件を満たす場合であるのでこれを考慮して上式を改めて積分される。これを用いて、飽和粘土 ( $G_s=2.34$ ,  $W_L=153\%$ ,  $I_p=66$ ,  $M_p=1.53$ ,  $N_p=1.20$ ,  $e_o=1.83$ ) の異方圧密試験結果に適用してみた結果が図-1, 2 である。

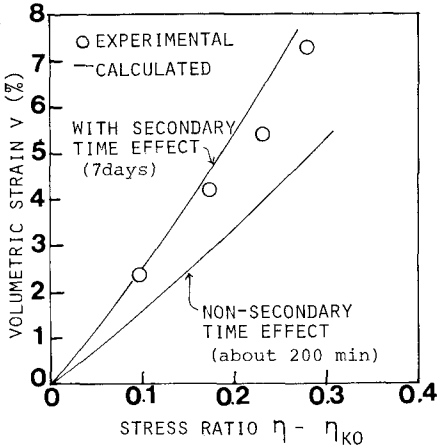


図-1 異方圧密中の体積ひずみ

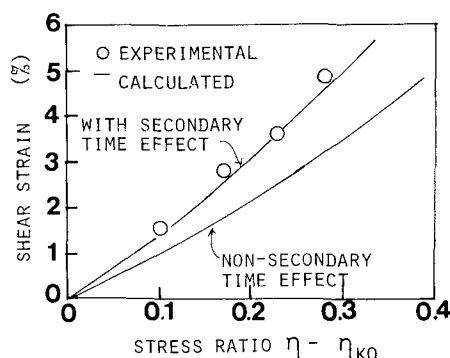


図-2 異方圧密中のせん断ひずみ

$$(\sigma'_{10}=2.0, \sigma'_{30}=1.0 \text{ kg/cm}^2, dq/dp'=1.21)$$

次に、異方圧密中のベズミの経時変化を予測するためには、式(7-a), (7-b)において偏差応力一定の条件、  
 $d\eta/\eta = - dp'/p'$  ..... (8)

を代入して積分し、さらに平均有効主応力  $p'$  の経時変化を知るために次式を仮定する。

$$p' = p'_0 + \Delta p' = p'_0 + \Delta p \left\{ 1 - (8/\pi^2) \exp(-\beta t) \right\}, \quad \beta = \pi^2 C_v / 4H_*^2 \quad (H_*: 排水距離) \quad (9)$$

これを代入して得られたベズミの経時変化予測のための計算式は次の通りである。

$$\nu = \frac{\lambda}{1+e'_o} \ln \frac{p'_0 + \Delta p [1 - (8/\pi^2) \exp(-\beta t)]}{p'_0} - D_{kp} q \left\{ \frac{1}{p'_0 + 4p \{1 - (8/\pi^2) (-\beta t)\}} - \frac{1}{p'_0} \right\} + A_d \exp(\bar{\alpha}_d n_k) t_o^{m_d (1-m_d)} - t_o^{1-m_d} \quad (10-a)$$

$$\varepsilon = \left\{ \frac{\lambda/(1+e'_o) + n_{ko}}{M_p + N_p n_{ko}} + \frac{D_{kp}}{N_p} \right\} \ln \frac{(M_p + N_p n_{ko}) \left[ p'_0 + \Delta p \{1 - (8/\pi^2) \exp(-\beta t)\} \right] - N_p q}{(M_p + N_p n_{ko}) p'_0 - N_p q} + \frac{D_{kp}}{N_p} \ln \left\{ 1 + \frac{\Delta p}{p'_0} \left\{ 1 - (8/\pi^2) (-\beta t) \right\} \right\} + A_s \exp(\bar{\alpha}_s n_k) t_o^{m_s (1-m_s)} - t_o^{1-m_s} \quad (10-b)$$

(  $\bar{\alpha}_s = 2$ ,  $\lambda = 0.435 C_c$ ,  $n = 0.435 C_s$ ,  $\bar{\alpha}_d = 0.435 \alpha_d$ ,  $\bar{\alpha}_s = 0.435 \alpha_s$  )

TEST CONDITION ;  $\sigma_1 = 2.0 \text{ kg/cm}^2$ ,  $\sigma_3 = 1.15 \text{ kg/cm}^2$   
 $\Delta \sigma_1 = 0.6 \text{ "}$ ,  $\Delta \sigma_3 = 0.15 \text{ "}$

図-3, 図-4ともに実験値と計算値はますますよく対応しているといえよう。なお、このような手法が繰返し荷重条件下での変形挙動にもよく適用できることが確かめられている。

**4. 簡易状下計算法の提案** 上記の構成式が板に広範囲の圧縮条件下の排水クリードの解析に成功したとしても、主応力の回転を伴なう現地盤へ適用するには飛躍がありすぎると言えよう。しかし、載荷面中央下のPTの予測に限れば、次ののような方法を考えられる。<sup>5)</sup>

- i) まず、自重による先行応力状態を知る。
- ii) 次に、載荷面における主応力増分を求める。
- iii) 現地から得られた試料を用いて、 $p'$ -一定、等方圧密試験を行い、実験定数をきめる。

iv) i), ii) の条件を構成式へ代入して、 $\nu$  とベズミ量とベズミの経時変化を知る。

v) ベズミを状下量に換算する。  
なお、即時状下量は別途求めものとする。なお、本研究は50.5年度産業技術研修助成、機械研究Aによて行われたものであることを付記する。

- 引用文献
- (1) 山内・宍原(1976) : 異方圧密中の応力-ベズミ-時間関係、九大工芸雑誌、Vol.49, No.6, pp.713-721
  - (2) 宍原・山内(1977) : 軽質粘土地盤の三次元圧縮状下計算法、第12回土建工学研究発表会講要集、pp.199-202. (3) 例えば、Ohta, H. & S. Hata (1970) : A Theoretical Study of the Stress-Strain Relation for Clays, S & F, Vol.11, No.3, pp.65-90. (4) Singh, A. & Mitchell (1968) : General Stress-Strain-time Function for Soils, Proc.ASCE, Vol.94, SM1, pp.21-46. (5) Yamanouchi, T. & K. Yasuhara (1977) : Deformation of Saturated Soft Clay under Repeated Loadings, Proc. Int. Conf. Soft Clay.

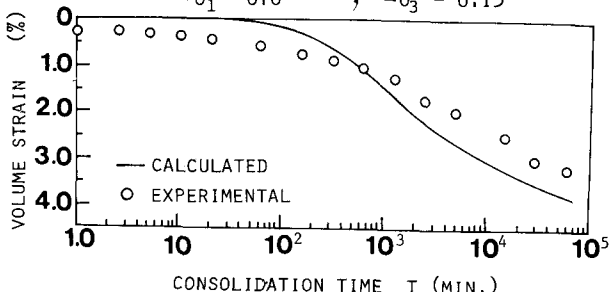


図-3 異方圧密時の体積ベズミの経時変化

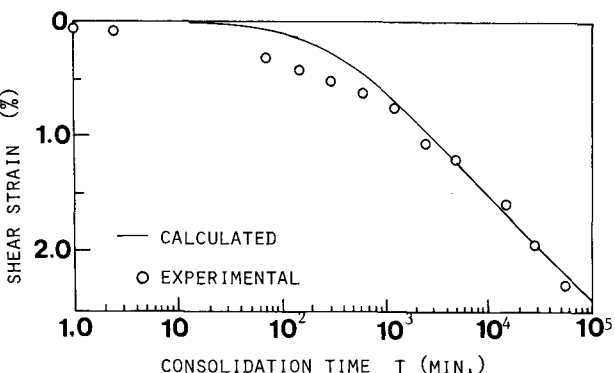


図-4 異方圧密時のせん断ベズミの経時変化